

COMMITTENTE:



PROGETTAZIONE:



INFRASTRUTTURE FERROVIARIE STRATEGICHE DEFINITE DALLA LEGGE OBIETTIVO N. 443/01e s.m.i.

CUP: J14H20000440001

U.O. PROGETTAZIONE INTEGRATA NORD

PROGETTO DEFINITIVO

LINEA AV/AC MILANO - VENEZIA

LOTTO FUNZIONALE TRATTA AV/AC BRESCIA EST - VERONA

NODO AV/AC DI VERONA: INGRESSO OVEST

VI02 - PONTE CASON SUD

RELAZIONE TECNICA DESCRITTIVA

SCALA:

-

COMMESSA LOTTO FASE ENTE TIPO DOC. OPERA/DISCIPLINA Progr. REV.

IN10 10 D 26 RG VI0200 001 A

Rev.	Descrizione	Redatto	Data	Verificato	Data	Approvato	Data	Autorizzato Data
A	Emissione Esecutiva	P. Maestrelli 	Sett 2021	M. Rigo 	Sett 2021	C. Mazzocchi 	Sett 2021	A. Perego Sett 2021

File: IN1010D26RGVI0200001A

n. Elab.:

INDICE

1	RELAZIONE ILLUSTRATIVA	4
1.1	ASPETTI GENERALI	4
1.2	ELEMENTI STRUTTURALI	7
1.2.1	IMPALCATO	7
1.2.2	SPALLE	7
1.3	METODO DI CALCOLO	9
1.3.1	CRITERI E DEFINIZIONE DELL'AZIONE SISMICA	9
1.3.2	COMBINAZIONI DI CARICO	13
1.3.3	SISTEMA DI VINCOLAMENTO	16
1.3.4	VALUTAZIONE DELLE SPINTE DEL TERRENO	17
1.3.5	VERIFICHE DEGLI ELEMENTI STRUTTURALI	18
1.4	DOCUMENTI DI RIFERIMENTO	18
2	NORMATIVA DI RIFERIMENTO	19
3	CARATTERISTICHE DEI MATERIALI	20
3.1	TABELLA RIASSUNTIVA CLASSI DI ESPOSIZIONE SECONDO NORMATIVA UNI EN 206-1	20
3.2	PARAMETRI DI IDENTIFICAZIONE PER LA VERIFICA A FESSURAZIONE	21
3.3	CALCESTRUZZO PER MAGRONE	22
3.4	CALCESTRUZZO PER PALI DI FONDAZIONE	22
3.5	CALCESTRUZZO PER OPERE DI FONDAZIONE	23
3.6	CALCESTRUZZO PER OPERE DI ELEVAZIONE	23
3.7	CALCESTRUZZO PER SOLETTA IMPALCATO	23
3.8	ACCIAIO PER CEMENTO ARMATO	24
3.9	STRUTTURE METALLICHE	24
3.9.1	ACCIAIO	24

3.10	MATERIALI PER STRUTTURE PROVVISORIE	25
3.10.1	MALTA DI INIEZIONE TIRANTI	25
3.10.2	MALTA DI INIEZIONE MICROPALI	25
3.10.3	ACCIAIO PER TIRANTI	25
3.11	COPRIFERRI	26
4	CODICI DI CALCOLO	27
4.1	SAP 2000	27
4.2	VCASLU	28

	LINEA AV/AC MILANO - VENEZIA LOTTO FUNZIONALE TRATTA AV/AC BRESCIA EST - VERONA NODO AV/AC DI VERONA: INGRESSO OVEST					
	RELAZIONE TECNICA DESCRITTIVA	COMMESSA IN10	LOTTO 10	CODIFICA D26RG	DOCUMENTO VI0200001	REV. A

1 RELAZIONE ILLUSTRATIVA

1.1 ASPETTI GENERALI

La presente relazione tecnica ha per oggetto la realizzazione del viadotto ferroviario a sostegno della nuova Linea Ferroviaria AV/AC, che consente lo scavalco della sottostante viabilità di Via Cason, nell'ambito della Progettazione Definitiva dell'Ingresso Ovest al Nodo AV/AC di Verona Porta Nuova della Tratta AV/AC Brescia-Verona. L'intervento prevede la realizzazione delle nuove linee, prevalentemente in affiancamento al sedime della attuale Linea Storica Milano-Venezia, nel tratto compreso tra l'intersezione con l'Autostrada del Brennero A22 e la radice est della Stazione Ferroviaria di Verona Porta Nuova, per una estensione di circa 10km. Tali interventi sono funzionali al progetto di linea della Tratta Brescia Est – Verona.

Nel tratto interessato dalla nuova costruzione verrà demolito il pozzetto in c.a esistente e la porzione di muro d'ala.



Figura 1.1 Vista planimetrica stato di fatto

L'adeguamento del sottopasso di Via Cason potrà essere realizzato entro la fine della Fase 1 dell'Armamento in quanto non si ha la presenza delle nuove linee Indipendente Merci a Nord e AV/AC a Sud. L'adeguamento della viabilità NV02 potrà essere contestuale alla realizzazione dell'adeguamento del sottopasso stesso e del cavalcavia IV02 realizzato per consentire lo scavalco della Tangenziale Ovest di Verona.

La nuova opera comporta fasi realizzative sotto elencate:

Fase 1: demolizione della porzione di muro d'ala e pozzetto c.a. esistente

Fase 2: infissione palancole a sostegno e protezione della strada per permettere gli scavi delle fondazioni delle spalle.

Fase 3: realizzazione delle spalle, estrazione palancole per il ripristino del traffico, ricostruzione marciapiede ciclopedonale e messa in opera dell'impalcato a travi incorporate.

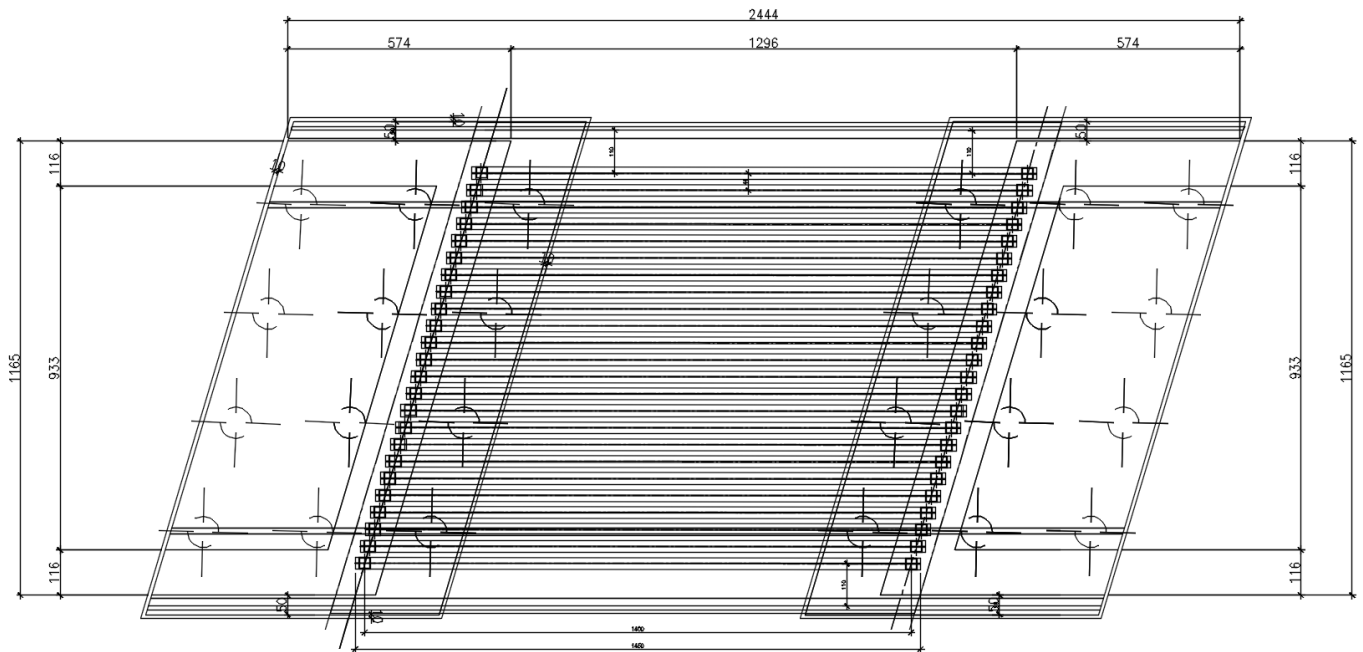


Figura 1-2 Pianta impalcato

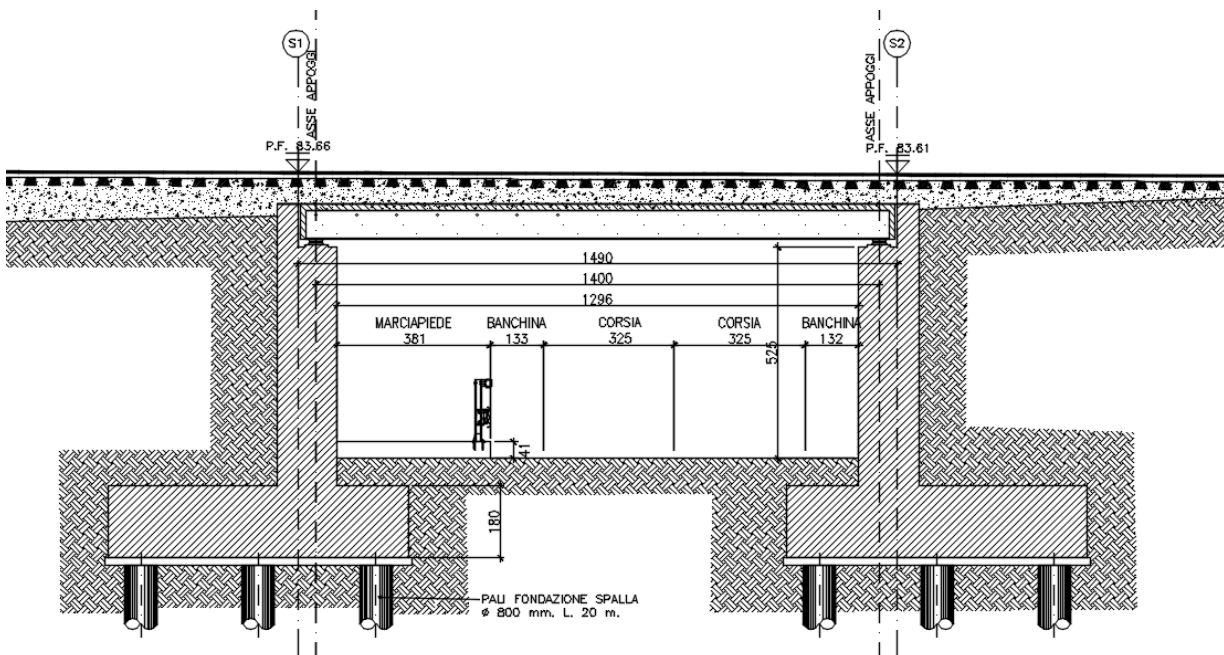


Figura 1-3 Sezione longitudinale

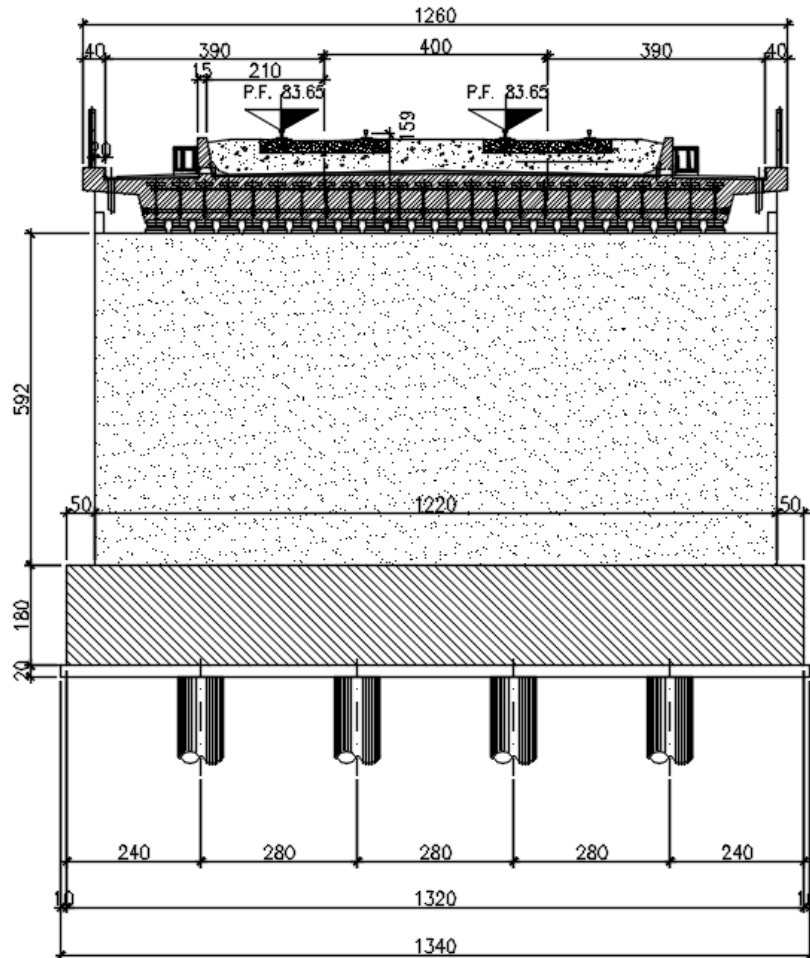


Figura 1-4 Sezione trasversale

1.2 ELEMENTI STRUTTURALI

1.2.1 IMPALCATO

Il ponte presenta due binari posti a 4 m di interasse, ha una campata con luce $L = 15.00$ m ed una larghezza complessiva di circa 12.6m. Si prevede di impiegare 24 profili HEM700 ad interasse di 44cm. Lo spessore dell'impalcato è di 80cm.

1.2.2 SPALLE

La spalla presenta una geometria classica, la platea, a forma parallelepipedica presenta lati lunghi rispettivamente 7.74m quello corto e 13.2m il lungo; ha uno spessore di 1.80m e si imposta su 12 pali di diametro $\varnothing 800$ e lunghezza $L=20.0$ m. Il fusto ha uno spessore costante di 1.50m ed altezza pari a 6.9 m. I risvolti hanno spessore di 1.16m.

PIANTA FONDAZIONI
Scala 1:100

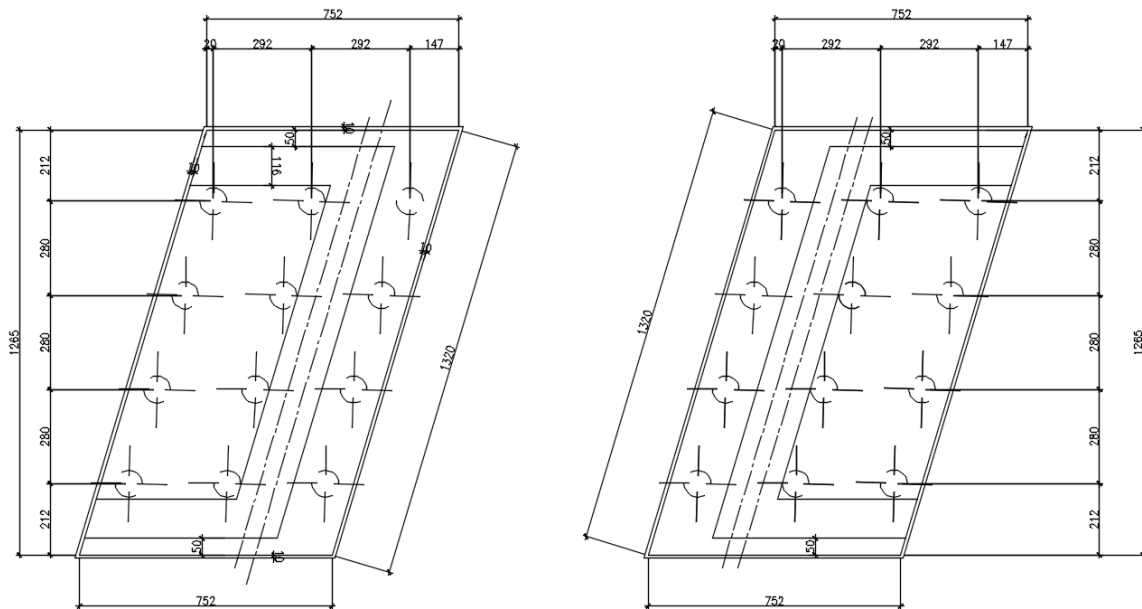


Figura 1.5 Spalla - Pianta delle fondazioni

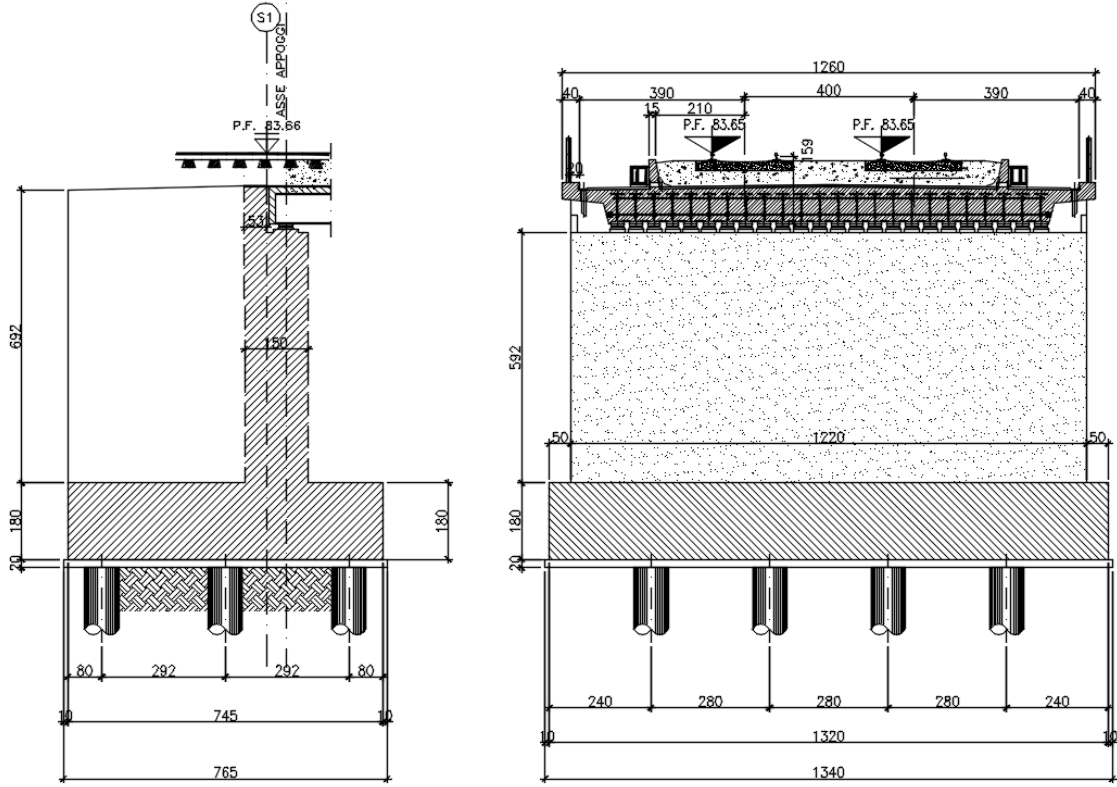


Figura 1.6 Spalla - Viste spalla

	LINEA AV/AC MILANO - VENEZIA LOTTO FUNZIONALE TRATTA AV/AC BRESCIA EST - VERONA NODO AV/AC DI VERONA: INGRESSO OVEST					
	RELAZIONE TECNICA DESCRITTIVA	COMMESSA IN10	LOTTO 10	CODIFICA D26RG	DOCUMENTO VI0200001	REV. A

1.3 METODO DI CALCOLO

La sicurezza strutturale è verificata tramite il metodo semiprobabilistico agli stati limite, applicando il DM17/01/2018 “Norme Tecniche per le costruzioni” e relative Istruzioni.

In particolare viene verificata la sicurezza sia nei confronti degli stati limite ultimi (SLU) sia nei confronti degli stati limite di esercizio (SLE).

1.3.1 CRITERI E DEFINIZIONE DELL’AZIONE SISMICA

L’effetto dell’azione sismica di progetto sull’opera nel suo complesso, includendo il volume significativo di terreno, la struttura di fondazione, gli elementi strutturali e non, nonché gli impianti, deve rispettare gli stati limite ultimi e di esercizio definiti al § 3.2.1, i cui requisiti di sicurezza sono indicati nel § 7.1 della norma.

Il rispetto degli stati limite si considera conseguito quando:

- nei confronti degli stati limite di esercizio siano rispettate le verifiche relative al solo Stato Limite di Danno;
- nei confronti degli stati limite ultimi siano rispettate le indicazioni progettuali e costruttive riportate nel § 7 e siano soddisfatte le verifiche relative al solo Stato Limite di salvaguardia della Vita.

Per Stato Limite di Danno (SLD) s’intende che l’opera, nel suo complesso, a seguito del terremoto, includendo gli elementi strutturali, quelli non strutturali, le apparecchiature rilevanti alla sua funzione, subisce danni tali da non provocare rischi agli utenti e non compromette significativamente la capacità di resistenza e di rigidità nei confronti delle azioni verticali e orizzontali. Lo stato limite di esercizio comporta la verifica delle tensioni di lavoro, come riportato al § 4.1.2.2.5.

Per Stato Limite di salvaguardia della Vita (SLV) si intende che l’opera a seguito del terremoto subisce rotture e crolli dei componenti non strutturali e impiantistici e significativi danni di componenti strutturali, cui si associa una perdita significativa di rigidità nei confronti delle azioni orizzontali (creazione di cerniere plastiche secondo il criterio della gerarchia delle resistenze), mantenendo ancora un margine di sicurezza (resistenza e rigidità) nei confronti delle azioni verticali.

Gli stati limite, sia di esercizio sia ultimi, sono individuati riferendosi alle prestazioni che l’opera a realizzarsi deve assolvere durante un evento sismico; nel caso di specie per la funzione che l’opera

	LINEA AV/AC MILANO - VENEZIA LOTTO FUNZIONALE TRATTA AV/AC BRESCIA EST - VERONA NODO AV/AC DI VERONA: INGRESSO OVEST					
	RELAZIONE TECNICA DESCRITTIVA	COMMESSA IN10	LOTTO 10	CODIFICA D26RG	DOCUMENTO VI0200001	REV. A

deve espletare nella sua vita utile, è significativo calcolare lo Stato Limite di Danno (SLD) per l'esercizio e lo Stato Limite di Salvaguardia della Vita (SLV) per lo stato limite ultimo.

SPALLE

Nel paragrafo § 7.9 della NTC2018, specifico per i ponti, si legge: *“La struttura del ponte deve essere concepita e dimensionata in modo tale che sotto l'azione sismica di progetto per lo SLV essa dia luogo alla formazione di un meccanismo dissipativo stabile, nel quale la dissipazione sia limitata alle spalle o ad appositi apparecchi dissipativi”....“Gli elementi ai quali non viene richiesta capacità dissipativa e devono, quindi, mantenere un comportamento sostanzialmente elastico sono: l'impalcato, gli apparecchi di appoggio, le strutture di fondazione ed il terreno da esse interessato, le spalle se sostengono l'impalcato attraverso appoggi mobili o deformabili. A tal fine si adotta il criterio della “gerarchia delle resistenze”...”.*

Essendo le pile e le palle sede di dispositivi elastomerici, secondo quanto prescritto dalla normativa vigente (punto § 7.10.2), la sottostruttura deve mantenersi in campo elastico: a tal riguardo quindi, nel calcolo allo SLV, vengono eseguite delle verifiche tensionali, assumendo come limite quello imposto per la combinazione caratteristica rara (§ 4.1.2.2.5), non essendo esplicitamente imposto un valore da normativa. Tale condizione inoltre, in accordo al punto § 7.10.6.1., consente di ritenere soddisfatte anche le verifiche nei confronti dello SLD.

DEFINIZIONE DELL'AZIONE SISMICA

L'opera oggetto della presente relazione ricade in zona sismica 2.

Per la definizione dell'azione sismica, occorre definire il periodo di riferimento P_{VR} in funzione dello stato limite considerato.

La vita nominale (V_N) dell'opera è stata assunta pari a 100 anni.

La classe d'uso assunta è la IV ($C_u = 2.0$)

Il periodo di riferimento (V_R) per l'azione sismica, data la vita nominale e la classe d'uso vale:

$$V_R = V_N \cdot C_u = 200 \text{ anni}$$

I valori di probabilità di superamento del periodo di riferimento P_{VR} , cui riferirsi per individuare l'azione sismica agente è:

$$P_{VR}(\text{SLV}) = 10\%$$

Il periodo di ritorno dell'azione sismica T_R espresso in anni, vale:

$$T_R(\text{SLV}) = - \frac{V_R}{\ln(1 - P_{VR})} = 1898 \text{ anni}$$

	LINEA AV/AC MILANO - VENEZIA LOTTO FUNZIONALE TRATTA AV/AC BRESCIA EST - VERONA NODO AV/AC DI VERONA: INGRESSO OVEST					
	RELAZIONE TECNICA DESCRITTIVA	COMMESSA IN10	LOTTO 10	CODIFICA D26RG	DOCUMENTO VI0200001	REV. A

Dato il valore del periodo di ritorno suddetto, tramite le tabelle riportate nell'Allegato B della norma, è possibile definire i valori di a_g , F_0 , T^*_c .

a_g → accelerazione orizzontale massima del terreno su suolo di **categoria B**, espressa come frazione dell'accelerazione di gravità;

F_0 → valore massimo del fattore di amplificazione dello spettro in accelerazione orizzontale;

T^*_c → periodo di inizio del tratto a velocità costante dello spettro in accelerazione orizzontale;

S → coefficiente che comprende l'effetto dell'amplificazione stratigrafica (S_s) e dell'amplificazione topografica (S_t);

L'opera ricade all'incirca alla Latitudine di $45^\circ 25,38'4''$ N e Longitudine $10^\circ 54,34'24''$ E, ad una quota di circa 84 m.s.m..

I valori delle caratteristiche sismiche (a_g , F_0 , T^*_c) per lo Stato Limite di salvaguardia della Vita sono riportati di seguito:

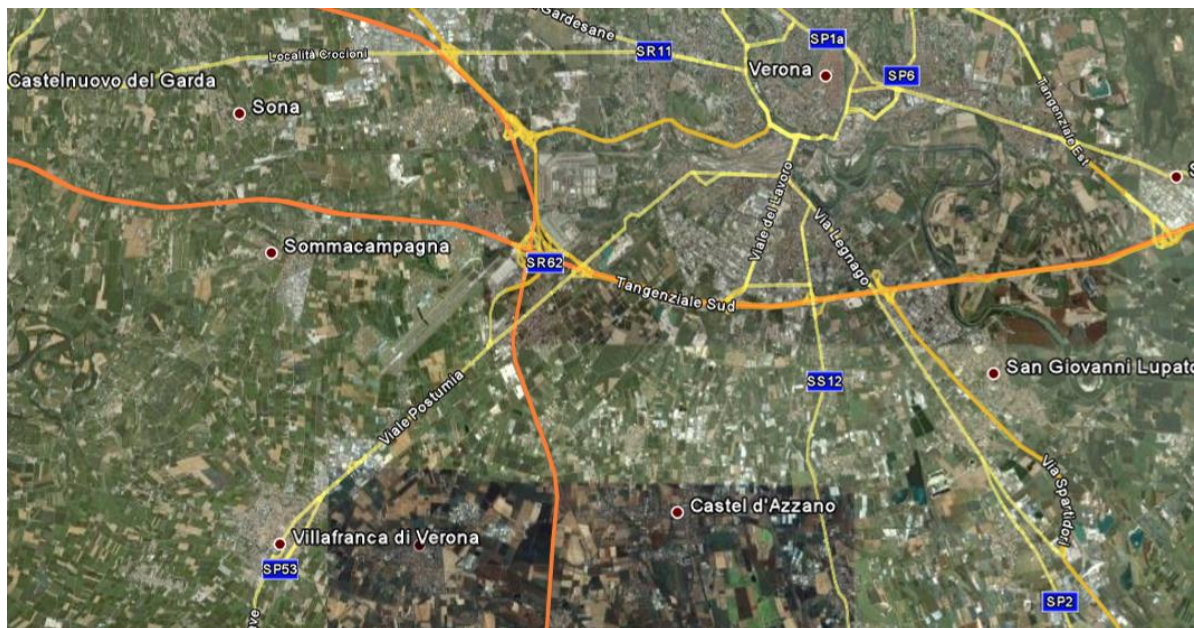


Figura 1.7 Tratto adeguamento del tracciato A22

 ITALFERR GRUPPO FERROVIE DELLO STATO ITALIANE	LINEA AV/AC MILANO - VENEZIA LOTTO FUNZIONALE TRATTA AV/AC BRESCIA EST - VERONA NODO AV/AC DI VERONA: INGRESSO OVEST					
	RELAZIONE TECNICA DESCRITTIVA	COMMESSA IN10	LOTTO 10	CODIFICA D26RG	DOCUMENTO VI0200001	REV. A



Figura 1.8 Individuazione coordinate Verona – STP FS VE-MI

I valori dei parametri a_g , F_0 , T_C^* per i periodi di ritorno T_R associati a ciascuno SL sono:

SLATO LIMITE	T_R [anni]	a_g [g]	F_0 [-]	T_C^* [s]
SLO	120	0.087	2.443	0.262
SLD	201	0.111	2.408	0.271
SLV	1898	0.259	2.406	0.287
SLC	2475	0.286	2.381	0.289

Per le pile il calcolo viene eseguito con il metodo dell'analisi statica equivalente applicando un fattore di struttura $q=1.0$, come prescritto da normativa cap.7.10.

Per le spalle il calcolo viene eseguito con il metodo dell'analisi statica equivalente, applicando come prescritto da normativa un'accelerazione pari ad $a_g S$.

Il sottosuolo su cui insiste l'opera può essere inserito nella categoria "B".

Il valore del coefficiente di amplificazione stratigrafico risulta:

$$S_S \text{ (SLV)} \Rightarrow 1.150$$

$$S_T \text{ (SLV)} \Rightarrow 1.000$$

L'accelerazione massima è valutata con la relazione

$$a_{\max}(\text{SLV}) = S \cdot a_g = S_S \cdot S_T \cdot a_g = 1.150 \cdot 0.259 = 0.298g$$

1.3.2 COMBINAZIONI DI CARICO

Le combinazioni di carico, considerate ai fini delle verifiche, sono stabilite in modo da garantire la sicurezza in conformità a quanto prescritto al . 5.1.3.12 e 2.5.3 del D.M. 17/01/2018.

I carichi variabili sono stati suddivisi in carichi da traffico, vento e resistenza passiva dei vincoli; di conseguenza, le combinazioni sono state generate assumendo alternativamente ciascuno dei tre suddetti carichi come azione variabile di base.

Fra i carichi variabili si distinguono:

- Q carichi da traffico
- Q_T azioni termiche
- Q_w azione del vento

Inoltre, come indicato nella tabella 5.1.IV, sono stati identificati tre gruppi di azioni caratteristiche, corrispondenti rispettivamente ai carichi verticali, alla forza di frenamento e alla forza centrifuga.

Ai fini delle verifiche degli stati limite si definiscono le seguenti combinazioni delle azioni:

1) – **Combinazione fondamentale**, generalmente impiegata per gli stati limite ultimi (SLU):

$$\gamma_{G1} \cdot G_1 + \gamma_{G2} \cdot G_2 + \gamma_P \cdot P + \gamma_{Q1} \cdot Q_{k1} + \gamma_{Q2} \cdot \psi_{02} \cdot Q_{k2} + \gamma_{Q3} \cdot \psi_{03} \cdot Q_{k3} + \dots \quad (2.5.1)$$

2) – **Combinazione caratteristica (rara)**, generalmente impiegata per gli stati limite di esercizio (SLE) irreversibili, da utilizzarsi nelle verifiche alle tensioni ammissibili di cui al § 2.7:

$$G_1 + G_2 + P + Q_{k1} + \psi_{02} \cdot Q_{k2} + \psi_{03} \cdot Q_{k3} + \dots \quad (2.5.2)$$

3) – **Combinazione frequente**, generalmente impiegata per gli stati limite di esercizio (SLE) reversibili:

$$G_1 + G_2 + P + \psi_{11} \cdot Q_{k1} + \psi_{22} \cdot Q_{k2} + \psi_{23} \cdot Q_{k3} + \dots \quad (2.5.3)$$

4) – **Combinazione quasi permanente (SLE)**, generalmente impiegata per gli effetti a lungo termine:

$$G_1 + G_2 + P + \psi_{21} \cdot Q_{k1} + \psi_{22} \cdot Q_{k2} + \psi_{23} \cdot Q_{k3} + \dots \quad (2.5.4)$$

5) – **Combinazione sismica**, impiegata per gli stati limite ultimi e di esercizio connessi all'azione sismica E (v. § 3.2):

$$E + G_1 + G_2 + P + \psi_{21} \cdot Q_{k1} + \psi_{22} \cdot Q_{k2} + \dots \quad (2.5.5)$$

6) – **Combinazione eccezionale**, impiegata per gli stati limite ultimi connessi alle azioni eccezionali di progetto A_d (v. § 3.6):

$$G_1 + G_2 + P + A_d + \psi_{21} \cdot Q_{k1} + \psi_{22} \cdot Q_{k2} + \dots \quad (2.5.6)$$

Nelle combinazioni per SLE, si intende che vengono omessi i carichi Q_{kj} che danno un contributo favorevole ai fini delle verifiche e, se del caso, i carichi G₂.

 ITALFERR GRUPPO FERROVIE DELLO STATO ITALIANE	LINEA AV/AC MILANO - VENEZIA LOTTO FUNZIONALE TRATTA AV/AC BRESCIA EST - VERONA NODO AV/AC DI VERONA: INGRESSO OVEST					
	RELAZIONE TECNICA DESCRITTIVA	COMMESSA IN10	LOTTO 10	CODIFICA D26RG	DOCUMENTO VI0200001	REV. A

Gli stati limite ultimi delle opere interrato si riferiscono allo sviluppo di meccanismi di collasso, determinati dalla mobilitazione della resistenza del terreno, e al raggiungimento della resistenza degli elementi strutturali che compongono l'opera.

Le verifiche agli stati limite ultimi devono essere eseguiti in riferimento ai seguenti stati limite:

- SLU di tipo geotecnico (GEO): collasso per carico limite dell'insieme fondazione-terreno;
- SLU di tipo strutturale (STR): raggiungimento della resistenza negli elementi strutturali.

Le verifiche saranno condotte secondo l'approccio progettuale "Approccio 1", utilizzando i coefficienti parziali riportati nelle Tabelle 6.2.I e 5.1.V per i parametri geotecnici e le azioni, Tabella 6.2.II per i parametri del terreno, e Tabella 6.4.II e 6.4.IV per i parametri di resistenza per le opere di sostegno su fondazioni profonde (pali) .

OPERE DI FONDAZIONE – FONDAZIONI SU PALI (CAP.6.4.3)

Approccio 1

(A1+M1+R1)

(verifica struttura)

(A2+M1+R2)

(verifica geotecnica)

Relativamente ai tiranti si farà riferimento ai seguenti parametri:

TIRANTI DI ANCORAGGIO (CAP.6.6)

(A1+M1+R3)

(dimensionamento geotecnico)

Tabella 6.2.I/5.1.V - Coefficienti parziali di sicurezza per le combinazioni di carico agli SLU

		Coefficiente	EQU ⁽¹⁾	A1 STR	A2 GEO
Carichi permanenti	favorevoli	γ_{G1}	0.90	1.00	1.00
	sfavorevoli		1.10	1.35	1.00
Carichi permanenti non strutturali ⁽²⁾	favorevoli	γ_{G2}	0.00	0.00	0.00
	sfavorevoli		1.50	1.50	1.30
Carichi variabili da traffico	favorevoli	γ_Q	0.00	0.00	0.00
	sfavorevoli		1.35	1.35	1.15
Carichi variabili	favorevoli	γ_{Qi}	0.00	0.00	0.00
	sfavorevoli		1.50	1.50	1.30
Distorsioni e presollecitazioni di progetto	favorevoli	γ_{e1}	0.90	1.00	1.00
	sfavorevoli		1.00 ⁽³⁾	1.00 ⁽⁴⁾	1.00
Ritiro e viscosità, Variazioni termiche, Cedimenti vincolari	favorevoli	$\gamma_{e2}, \gamma_{e3}, \gamma_{e4}$	0.00	0.00	0.00
	sfavorevoli		1.20	1.20	1.00

⁽¹⁾ Equilibrio che non coinvolga i parametri di deformabilità e resistenza del terreno: altrimenti si applicano i valori GEO.

⁽²⁾ Nel caso in cui i carichi permanenti non strutturali (ad es. carichi permanenti portati) siano compiutamente definiti si potranno adottare coefficienti validi per le azioni permanenti.

⁽³⁾ 1.30 per instabilità in strutture con precompressione esterna.

⁽⁴⁾ 1.20 per effetti locali

Tabella 6.2.II - Coefficienti parziali per i parametri geotecnici del terreno

PARAMETRO	GRANDEZZA ALLA QUALE APPLICARE IL COEFFICIENTE PARZIALE	COEFFICIENTE PARZIALE γ_M	(M1)	(M2)
Tangente dell'angolo di resistenza al taglio	$\tan \phi'_k$	γ_ϕ	1.00	1.25
Coazione efficace	c'_k	$\gamma_{c'}$	1.00	1.25
Resistenza non drenata	c_{uk}	γ_{cu}	1.00	1.40
Peso dell'unità di volume	γ	γ_γ	1.00	1.00

Tabella 6.4.II - Coefficienti parziali γ_k da applicare alle resistenze caratteristiche.

Resistenza	Simbolo	Pali infissi			Pali trivellati			Pali ad elica continua		
		(R1)	(R2)	(R3)	(R1)	(R2)	(R3)	(R1)	(R2)	(R3)
Base	γ_b	1,0	1,45	1,15	1,0	1,7	1,35	1,0	1,6	1,3
Laterale in compressione	γ_s	1,0	1,45	1,15	1,0	1,45	1,15	1,0	1,45	1,15
Totale ⁽¹⁾	γ_k	1,0	1,45	1,15	1,0	1,6	1,30	1,0	1,55	1,25
Laterale in trazione	γ_{st}	1,0	1,6	1,25	1,0	1,6	1,25	1,0	1,6	1,25

⁽¹⁾ da applicare alle resistenze caratteristiche dedotte dai risultati di prove di carico di progetto.

$$R_{c,A} = \text{Min} \left\{ \frac{(R_{c,cal})_{medie}}{\xi_3}, \frac{(R_{c,cal})_{min}}{\xi_4} \right\} \quad (6.2.10)$$

$$R_{t,A} = \text{Min} \left\{ \frac{(R_{t,cal})_{medie}}{\xi_3}, \frac{(R_{t,cal})_{min}}{\xi_4} \right\} \quad (6.2.11)$$

Tabella 6.4.IV - Fattori di correlazione ξ per la determinazione della resistenza caratteristica in funzione del numero di verticali indagate.

Numero di verticali indagate	1	2	3	4	5	7	≥ 10
ξ_3	1,70	1,65	1,60	1,55	1,50	1,45	1,40
ξ_4	1,70	1,55	1,48	1,42	1,34	1,28	1,21

 Per la verifica di portanza dei **tiranti** si fa riferimento a quanto indicato nelle tabelle seguenti

Tabella 6.6.I - Coefficienti parziali per la resistenza di ancoraggi

	SIMBOLO	COEFFICIENTE PARZIALE
	γ_R	
Temporanei	$\gamma_{R,t}$	1,1
Permanenti	$\gamma_{R,p}$	1,2

Tabella 6.6.III: Fattori di correlazione per derivare la resistenza caratteristica dalle prove geotecniche, in funzione del numero n di profili di indagine.

numero di profili di indagine	1	2	3	4	≥ 5
ξ_{s3}	1,80	1,75	1,70	1,65	1,60
ξ_{s4}	1,80	1,70	1,65	1,60	1,55

Ai fini delle verifiche degli stati limite ultimi si definiscono le seguenti combinazioni:

- 1A) STR) $\Rightarrow \gamma_{G1} \cdot G_1 + \gamma_{G2} \cdot G_2 + \gamma_{Q1} \cdot Q_{k1} + \sum_i \psi_{0i} \cdot Q_{ki}$
 \Rightarrow (terreno non defattorizzato e spinta a riposo)
- 1B) GEO) $\Rightarrow \gamma_{G1} \cdot G_1 + \gamma_{G2} \cdot G_2 + \gamma_{Q1} \cdot Q_{k1} + \sum_i \psi_{0i} \cdot Q_{ki}$
 \Rightarrow (terreno non defattorizzato e spinta a riposo)
- 6) Eccezionale) $\Rightarrow G_1 + G_2 + \psi_{21} \cdot Q_{k1} + \sum_i \psi_{2i} \cdot Q_{ki}$

Ai fini delle verifiche degli stati limite di esercizio si definiscono le seguenti combinazioni:

- 2) Rara) $\Rightarrow G_1 + G_2 + P + Q_{k1} + \sum_i \psi_{0i} \cdot Q_{ki}$

Ai fini delle verifiche degli stati limite di esercizio (fessurazione) si definiscono le seguenti combinazioni:

- 3) Frequente) $\Rightarrow G_1 + G_2 + \psi_{11} \cdot Q_{k1} + \sum_i \psi_{2i} \cdot Q_{ki}$
- 4) Quasi permanente) $\Rightarrow G_1 + G_2 + \psi_{21} \cdot Q_{k1} + \sum_i \psi_{2i} \cdot Q_{ki}$

Per la condizione sismica, le combinazioni per gli stati limite ultimi da prendere in considerazione sono le seguenti:

- 5A) STR) $\Rightarrow E + G_1 + G_2 + \sum_i \psi_{2i} \cdot Q_{ki}$
 \Rightarrow (terreno non defattorizzato e spinta attiva)

Gli effetti dell'azione sismica saranno valutati tenendo conto delle masse associate ai seguenti carichi gravitazionali:

$$G_1 + G_2 + \sum_i \psi_{2i} \cdot Q_{ki}$$

I valori del coefficiente ψ_{2i} sono quelli riportati nella tabella 2.5.I della norma; la stessa propone nel caso di ponti ferroviari, di assumere per i carichi dovuti al transito dei mezzi $\psi_{2i} = 0.2$ (condizione cautelativa). In questo caso in favore di sicurezza si assimila il ponte in esame come ferroviario applicando il coefficiente $\psi_{2i} = 0.2$.

1.3.3 SISTEMA DI VINCOLAMENTO

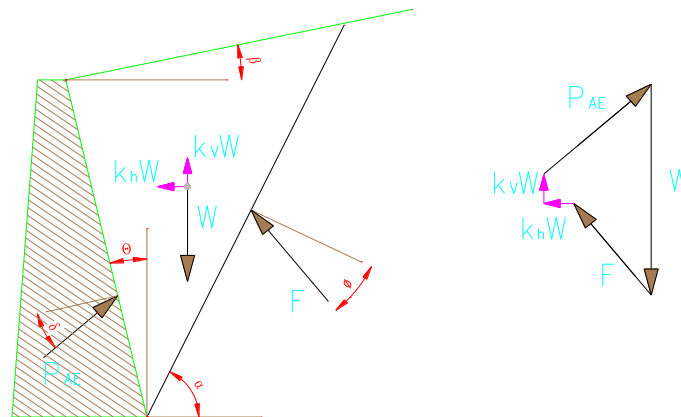
SPALLE

Il calcolo svolto nella condizione sismica è un'analisi statica equivalente, secondo quanto previsto dalla normativa di riferimento. Tale analisi è dipendente dalle caratteristiche dei dispositivi di isolamento ed in particolare dal valore della rigidezza orizzontale e dal coefficiente di smorzamento equivalente.

Le caratteristiche dei dispositivi ed in particolare i valori delle rigidezze orizzontali vengono considerate nel calcolo delle sollecitazioni degli elementi di sostegno dell'opera in condizioni sismiche in un'analisi di tipo statico equivalente al fine della valutazione delle azioni sismiche ed in condizioni di esercizio per la ripartizione delle forze orizzontali tra i diversi elementi di sostegno. Le caratteristiche dei dispositivi di appoggio ed isolamento utilizzati per l'opera in oggetto, già descritte nella premessa, consentono la trasmissione delle azioni derivanti dall'impalcato proporzionalmente alle rigidezze a pile e spalle.

1.3.4 VALUTAZIONE DELLE SPINTE DEL TERRENO

Il calcolo delle spinte del terreno (per le strutture di sostegno – spalle) verrà svolto considerando uno schema di "spinta a riposo" in condizioni di esercizio. In condizioni sismiche, invece, si considererà lo schema di spinta attiva con incremento dinamico secondo l'approccio di Mononobe-Okabe.



$$E_d = 1/2 \gamma^* (1 \pm k_v) K H^2 + E_{ws}$$

H : altezza del muro

E_{ws} : spinta idrostatica

γ^* : peso specifico del terreno

K : coefficiente di spinta del terreno (statico+dinamico)

$$\psi = \arctan (k_r / (1 \pm k_v)) =$$

$$k_{AE} = \frac{[\cos^2 (\phi - \theta - \psi)]}{[\cos \psi^* \cos^2 \theta * \cos(\delta + \theta + \psi)^* (1 + ((\sin(\delta + \phi) * \sin(\phi - \beta - \psi) / \cos(\delta + \theta + \psi) / \cos(\beta - \theta))^{1/2})^2]}$$

$$\Delta e_d = P_{AE(kv)} - S_a$$

	LINEA AV/AC MILANO - VENEZIA LOTTO FUNZIONALE TRATTA AV/AC BRESCIA EST - VERONA NODO AV/AC DI VERONA: INGRESSO OVEST					
	RELAZIONE TECNICA DESCRITTIVA	COMMESSA IN10	LOTTO 10	CODIFICA D26RG	DOCUMENTO VI0200001	REV. A

1.3.5 VERIFICHE DEGLI ELEMENTI STRUTTURALI

Le verifiche degli elementi strutturali verranno svolte secondo quanto prescritto dalla normative in vigore (DM 17/01/2018); i limiti tensionali massimi assunti sono riportati nel paragrafo specifico relativo alle caratteristiche dei materiali.

IMPALCATO

Per le parti strutturali costituenti l'impalcato (soletta, travi, traversi, cordoli) saranno svolte le verifiche allo stato limite ultimo per le condizioni di esercizio, nonché le verifiche a fessurazione per lo stato limite di esercizio.

APPOGGI

Il sistema di vincolamento è realizzato con isolatori elastomerici che sono trattati secondo quanto previsto dal § 7.10 del DM2018 (Costruzioni e ponti con isolamento e/o dissipazione) per i quali si prevedono i seguenti tipi di verifiche:

SLU – Verifiche allo stato limite di collasso (SLC).

SLE – Verifiche allo stato limite di danno (SLD): sono automaticamente soddisfatte se sono soddisfatte le verifiche SLV.

SPALLE

Per la tipologia di vincolamento assunto (isolatori elastomerici) in condizioni sismiche le "sottostrutture" devono rimanere in campo elastico; si sono quindi effettuate le seguenti verifiche: allo stato limite ultimo per le condizioni di esercizio e di controllo del mantenimento del comportamento elastico dei materiali per le condizioni sismiche, nonché le verifiche a fessurazione per lo stato limite di esercizio.

1.4 DOCUMENTI DI RIFERIMENTO

La presente relazione è inscindibile dagli elaborati grafici e dai seguenti documenti:

Relazione di Calcolo Impalcato

Relazione di Calcolo Spalle e Fondazioni

Relazione di Calcolo Opere Provvisoriale

2 NORMATIVA DI RIFERIMENTO

I calcoli sviluppati nel seguito sono svolti secondo il Metodo degli Stati Limite e nel rispetto della normativa vigente.

Ministero dei LL.PP – D.M. 17.01.2018

Circolare 21 Gennaio 2019 n.7

CNR – DT 207/2008

Istruzioni per la valutazione delle azioni e degli effetti del vento sulle costruzioni.

**RFI DTC SI MA IFS 001 E Manuale di progettazione delle opere civili – Parte II Sezione 2 –
PONTI E STRUTTURE**

EC3 - UNI EN 1993-1-1:2005

3 CARATTERISTICHE DEI MATERIALI

Materiali come prescritti dal Decreto Ministeriale 17.01.2018 “Norme Tecniche per le Costruzioni”.

3.1 TABELLA RIASSUNTIVA CLASSI DI ESPOSIZIONE SECONDO NORMATIVA UNI EN 206-1

Questa tabella è da compilarsi in funzione dell’opera da eseguire: associare ad ogni elemento progettuale (fondazione, elevazione.....) .

Tab 2

Classi di esposizione ambientale secondo UNI EN 206-1								
Classe di esposizione ambientale	Descrizione dell'ambiente di esposizione	Esempi di condizioni ambientali	UNI 3858	W/C massimo	Contenuto minimo di cemento kg/m ³	Rck minima N/mm ²	Contenuto minimo di aria %	Copriferro minimo Mm
1 Assenza di rischio di corrosione o attacco								
X0	Molto secco	Cis per interni di edifici con umidità dell'aria molto bassa	1	-	-	C12/15	-	15
2 Corrosione delle armature per effetto della carbonatazione								
XC1	Secco o permanentemente bagnato	Cis per interni di edifici con umidità relativa bassa o immerso in acqua	2a	0,85	280	C20/25	-	20
XC2	Bagnato, raramente secco	Superfici in ds a contatto con acqua per lungo tempo es. fondazioni	2a	0,60	280	C25/30	-	20
XC3	Umidità moderata	Cis per interni con umidità relativa moderata o alta e cis all'esterno protetto dalla pioggia	5a	0,55	280	C30/37	-	30
XC4	Umicamente bagnato ed asciutto	Superfici in ds a contatto con l'acqua, non nella classe XC2.	4a, 5b	0,50	300	C30/37	-	30
3 Corrosione delle armature per effetto dei cloruri esclusi quelli provenienti dall'acqua di mare								
XD1	Umidità moderata	Superfici in cis esposte a nebbia salina	5a	0,55	300*	C30/37	-	30
XD2	Bagnato, raramente asciutto	Piscine; ds esposto ad acque industriali contenenti cloruri	4a, 5b	0,55	300	C30/37	-	30
XD3	Umicamente bagnato ed asciutto	Parti di ponti esposte a spruzzi contenenti cloruri, pavimentazioni di parcheggio	5c	0,45	320	C35/45	-	40
4 Corrosione delle armature indotta da cloruri presenti nell'acqua di mare								
XS1	Esposto alla nebbia salina ma non all'acqua di mare	Strutture prossime o sulla costa	4a, 5b	0,50	300	C30/37	-	30
XS2	Permanentemente sommerso	Parti di strutture marine	5c	0,45	320	C35/45	-	40
XS3	Zone esposte alle onde o alla marea	Parti di strutture marine	5c	0,45	340	C35/45	-	40
5 Attacco dei cicli di gelo/sgelo con o senza sali disgelanti								
XF1	Moderata saturazione d'acqua in assenza di sali disgelanti	Superfici verticali in ds esposte alla pioggia e al gelo	2b	0,55	300	C30/37	-	30
XF2	Moderata saturazione d'acqua in presenza di sali disgelanti	Superfici verticali in ds di strutture stradali esposte al gelo e nebbia dei sali disgelanti	3, 4b	0,55	300	C25/30	4,0 e aggregati resistenti al gelodisgelo	30
XF3	Elevata saturazione d'acqua in assenza di sali disgelanti	Superfici orizzontali in ds esposte alla pioggia e al gelo	2b	0,50	320	C30/37	4,0 e aggregati resistenti al gelodisgelo	30
XF4	Elevata saturazione d'acqua in presenza di sali disgelanti o acqua di mare	Strade e impalcati da ponte esposti ai sali disgelanti. Superfici in ds esposte direttamente a nebbia contenente sali disgelanti	3, 4b	0,45	340	C30/37	4,0 e aggregati resistenti al gelodisgelo	40
6 Attacco chimico								
XA1	Ambiente chimico debolmente aggressivo (vd. prospetto 2 della EN 206)	-	5a	0,55	300	C30/37	-	30
XA2	Ambiente chimico moderatamente aggressivo (vd. prospetto 2 della EN 206)	-	4*, 5b	0,50	320 cemento resistente ai solfati	C30/37	-	30
XA3	Ambiente chimico fortemente aggressivo (vd. prospetto 2 della EN 206)	-	5c	0,45	380 cemento resistente ai solfati	C35/45	-	40

Conglomerato cementizio per elementi strutturali:

ELEMENTO	CLASSE DI ESPOSIZIONE	CLASSE DI RESISTENZA MINIMA (Mpa)	COPRIFERRO (mm)	CLASSE DI CONSISTENZA	RAPPORTO ACQUA/CEMENTO (+Aria %)	DIMENSIONE MASSIMA NOMINALE DEGLI AGGREGATI (mm)
PALI $\phi > 800$ mm	XC2	C25/30	60	S4	0.60	40
PLINTI - PLATEE	XC2	C25/30	40	S4	0.60	40
ELEVAZIONE PILE E SPALLE	XC4+XF2	C32/40	40	S4	0.50 (+4%)	32
PULVINI , BAGGIOLI E RITEGNI	XC4+XF4	C32/40	40	S5	0.45 (+4%)	25
IMPALCATI GETTATI IN OPERA	XC4+XF4	C32/40	40	S4/S5	0.45 (+4%)	25
SOLETTE GETTATE IN OPERA	XC4+XF4	C32/40	40	S4/S5	0.45 (+4%)	25

(non si ritiene di applicare la classe XD3, poiché oltre ai sali disgelanti è prevista la situazione di gelo-disgelo (XF4) che costituisce l'unica causa della presenza di cloruri, né vi sono altre fonti da cui provengano cloruri (per questo motivo la classe di esposizione XD3 non appare nella Tabella)

3.2 PARAMETRI DI IDENTIFICAZIONE PER LA VERIFICA A FESSURAZIONE

Nel capitolo 4 del DM 14.01.2008 si identificano i parametri a cui fare riferimento per la verifica a fessurazione.

Tabella 4.1.III – Descrizione delle condizioni ambientali

CONDIZIONI AMBIENTALI	CLASSE DI ESPOSIZIONE
Ordinarie	X0, XC1, XC2, XC3, XF1
Aggressive	XC4, XD1, XS1, XA1, XA2, XF2, XF3
Molto aggressive	XD2, XD3, XS2, XS3, XA3, XF4

Tabella 4.1.IV – Criteri di scelta dello stato limite di fessurazione

Gruppi di esigenze	Condizioni ambientali	Combinazione di azioni	Armatura			
			Sensibile		Poco sensibile	
			Stato limite	w_d	Stato limite	w_d
a	Ordinarie	frequente	ap. fessure	$\leq w_2$	ap. fessure	$\leq w_2$
		quasi permanente	ap. fessure	$\leq w_1$	ap. fessure	$\leq w_2$
b	Aggressive	frequente	ap. fessure	$\leq w_1$	ap. fessure	$\leq w_2$
		quasi permanente	decompressione	-	ap. fessure	$\leq w_1$
c	Molto aggressive	frequente	formazione fessure	-	ap. fessure	$\leq w_1$
		quasi permanente	decompressione	-	ap. fessure	$\leq w_1$

w_1, w_2, w_3 sono definiti al § 4.1.2.2.4.1, il valore di calcolo w_d è definito al § 4.1.2.2.4.6.

 ITAFERR GRUPPO FERROVIE DELLO STATO ITALIANE	LINEA AV/AC MILANO - VENEZIA LOTTO FUNZIONALE TRATTA AV/AC BRESCIA EST - VERONA NODO AV/AC DI VERONA: INGRESSO OVEST					
	RELAZIONE TECNICA DESCRITTIVA	COMMESSA IN10	LOTTO 10	CODIFICA D26RG	DOCUMENTO VI0200001	REV. A

Scheda riassuntiva parametri di fessurazione secondo DM2018:

ELEMENTO	Classe di esposizione	Gruppo di esigenza	Combinazione	w _d
PALI	XC2	a	frequente	0.4
			quasi permanente	0.3
PLINTI - PLATEE	XC2	a	frequente	0.4
			quasi permanente	0.3
ELEVAZIONE PILE E SPALLE	XC4+XF2	b	frequente	0.3
			quasi permanente	0.2
PULVINI BAGGIOLI E RITEGNI	XC4+XF4	c	frequente	0.2
			quasi permanente	0.2
IMPALCATI GETTATI IN OPERA	XC4+XF4	c	frequente	0.2
			quasi permanente	0.2
SOLETTE GETTATE IN OPERA	XC4 +XF4	c	frequente	0.2
			quasi permanente	0.2

Le verifiche saranno comunque condotte secondo quanto prescritto **dall'Istruzione 44A di RFI**, in cui i valori limite di apertura delle fessure, per la **combinazione frequente** e per armature poco sensibili, sono i seguenti:

- $\delta_f \leq w_1$ per strutture in condizioni ambientali aggressive e molto aggressive, così come identificate nel par. 4.1.2.2.4.3 del DM 17.1.2018, per tutte le strutture a permanente contatto con il terreno e per tutte le zone non ispezionabili;
- b) $\delta_f \leq w_2$ per strutture in condizioni ambientali ordinarie secondo il citato paragrafo del DM 17.1.2018.

In ogni caso devono essere condotte le verifiche a fessurazione mediante calcolo diretto, ai sensi del D.M. 17.01.2018, p.to 4.1.2.2.4.6.

3.3 CALCESTRUZZO PER MAGRONE

Per il magrone di sottofondazione si prevede l'utilizzo di calcestruzzo di classe Rck 15.

3.4 CALCESTRUZZO PER PALI DI FONDAZIONE

Per la realizzazione dei pali di fondazione in cemento armato di pile e spalle, si prevede l'utilizzo di calcestruzzo in classe Rck ≥ 30 N/mm², che presenta le seguenti caratteristiche:

Resistenza a compressione (cilindrica)	→ $f_{ck} = 0.83 \cdot R_{ck} =$	24.90 N/mm ²
Resistenza di calcolo a compressione	→ $f_{cd} = \alpha_{cc} \cdot f_{ck} / \gamma_c = 0.85 \cdot f_{ck} / 1.5 =$	14.16 N/mm ²
Resistenza di calcolo a compressione elastica	→ $\sigma_c = 0.60 \cdot f_{ck} =$	15.00 N/mm ²

Resistenza a trazione media	→ $f_{ctm} = 0.30 * f_{ck}^{2/3} =$	2.56 N/mm ²
Resistenza a trazione	→ $f_{ctk} = 0.7 * f_{ctm} =$	1.795 N/mm ²
Resistenza a trazione di calcolo	→ $f_{ctd} = f_{ctk} / \gamma_c =$	1.197 N/mm ²
Resistenza di calcolo a trazione	→ $\tau_c = 0.50 * f_{ctk} =$	0.900 N/mm ²

3.5 CALCESTRUZZO PER OPERE DI FONDAZIONE

Per la realizzazione della platea di fondazione in cemento armato delle spalle, si prevede l'utilizzo di calcestruzzo in classe Rck ≥ 30 N/mm², che presenta le seguenti caratteristiche:

Resistenza a compressione (cilindrica)	→ $f_{ck} = 0.83 * R_{ck} =$	24.90 N/mm ²
Resistenza di calcolo a compressione	→ $f_{cd} = \alpha_{cc} * f_{ck} / \gamma_c = 0.85 * f_{ck} / 1.5 =$	14.16 N/mm ²
Resistenza di calcolo a compressione elastica	→ $\sigma_c = 0.60 * f_{ck} =$	15.00 N/mm ²
Resistenza a trazione media	→ $f_{ctm} = 0.30 * f_{ck}^{2/3} =$	2.56 N/mm ²
Resistenza a trazione	→ $f_{ctk} = 0.7 * f_{ctm} =$	1.795 N/mm ²
Resistenza a trazione di calcolo	→ $f_{ctd} = f_{ctk} / \gamma_c =$	1.197 N/mm ²
Resistenza di calcolo a trazione	→ $\tau_c = 0.50 * f_{ctk} =$	0.900 N/mm ²

3.6 CALCESTRUZZO PER OPERE DI ELEVAZIONE

Per la realizzazione delle opere di elevazione in cemento armato di pile e spalle, si prevede l'utilizzo di calcestruzzo in classe Rck ≥ 40 N/mm², che presenta le seguenti caratteristiche:

Resistenza a compressione (cilindrica)	→ $f_{ck} = 0.83 * R_{ck} =$	33.20 N/mm ²
Resistenza di calcolo a compressione	→ $f_{cd} = \alpha_{cc} * f_{ck} / \gamma_c = 0.85 * f_{ck} / 1.5 =$	18.81 N/mm ²
Resistenza di calcolo a compressione elastica	→ $\sigma_c = 0.60 * f_{ck} =$	19.92 N/mm ²
Resistenza a trazione media	→ $f_{ctm} = 0.30 * f_{ck}^{2/3} =$	3.10 N/mm ²
Resistenza a trazione	→ $f_{ctk} = 0.7 * f_{ctm} =$	2.169 N/mm ²
Resistenza a trazione di calcolo	→ $f_{ctd} = f_{ctk} / \gamma_c =$	1.446 N/mm ²

3.7 CALCESTRUZZO PER SOLETTA IMPALCATO

Per la realizzazione della soletta d'impalcato in cemento armato, si prevede l'utilizzo di calcestruzzo in classe Rck ≥ 40 N/mm², che presenta le seguenti caratteristiche:

Resistenza a compressione (cilindrica)	→ $f_{ck} = 0.83 \cdot R_{ck} =$	33.20 N/mm ²
Resistenza di calcolo a compressione	→ $f_{cd} = \alpha_{cc} \cdot f_{ck} / \gamma_c = 0.85 \cdot f_{ck} / 1.5 =$	18.81 N/mm ²
Resistenza di calcolo a compressione elastica	→ $\sigma_c = 0.60 \cdot f_{ck} =$	19.92 N/mm ²
Resistenza a trazione media	→ $f_{ctm} = 0.30 \cdot f_{ck}^{2/3} =$	3.10 N/mm ²
Resistenza a trazione	→ $f_{ctk} = 0.7 \cdot f_{ctm} =$	2.169 N/mm ²
Resistenza a trazione di calcolo	→ $f_{ctd} = f_{ctk} / \gamma_c =$	1.446 N/mm ²

3.8 ACCIAIO PER CEMENTO ARMATO

Per le armature metalliche si adottano tondini in acciaio del tipo B450C controllato in stabilimento, che presentano le seguenti caratteristiche:

Proprietà	Requisito
Limite di snervamento f_y	≥ 450 MPa
Limite di rottura f_t	≥ 540 MPa
Allungamento totale al carico massimo A_{gt}	$\geq 7\%$
Rapporto f_t/f_y	$1,13 \leq R_m/R_e \leq 1,35$
Rapporto $f_{y \text{ misurato}}/f_{y \text{ nom}}$	$\leq 1,25$

Tensione di snervamento caratteristica	→ $f_{yk} \geq$	450.00 N/mm ²
Tensione caratteristica a rottura	→ $f_{tk} \geq$	540.00 N/mm ²
Tensione di calcolo elastica	→ $\sigma_c = 0.80 \cdot f_{yk} =$	360.00 N/mm ²
Fattore di sicurezza acciaio	→ $\gamma_s =$	1.15
Resistenza a trazione di calcolo	→ $f_{yd} = f_{yk} / \gamma_s =$	391.30 N/mm ²

3.9 STRUTTURE METALLICHE

3.9.1 ACCIAIO

Materiale secondo UNI EN 10025 (laminati), UNI EN 102109-1 (tubi saldati)

Per le travi a sostegno dell'impalcato si prevede l'impiego di acciaio da carpenteria tipo S355J2 (ex Fe 510) con le seguenti caratteristiche:

Tensione di snervamento caratteristica	→ $f_{yk} \geq$	355.00 N/mm ²
Tensione caratteristica a rottura	→ $f_{tk} \geq$	510.00 N/mm ²
Fattore di sicurezza acciaio	→ $\gamma_s (*)$	1.25
Resistenza a trazione di calcolo	→ $f_{yd} = f_{yk} / \gamma_s =$	284.00 N/mm ²
Modulo elastico	→ $E_s =$	210000 N/mm ²

 ITALFERR GRUPPO FERROVIE DELLO STATO ITALIANE	LINEA AV/AC MILANO - VENEZIA LOTTO FUNZIONALE TRATTA AV/AC BRESCIA EST - VERONA NODO AV/AC DI VERONA: INGRESSO OVEST					
	RELAZIONE TECNICA DESCRITTIVA	COMMESSA IN10	LOTTO 10	CODIFICA D26RG	DOCUMENTO VI0200001	REV. A

(*) A favore di sicurezza si assume il coefficiente più gravoso (resistenza delle sezioni tese, indebolite dai fori)

3.10 MATERIALI PER STRUTTURE PROVVISORIE

3.10.1 MALTA DI INIEZIONE TIRANTI

Caratteristiche secondo UNI EN 447:2007

Resistenza a rottura a 28gg	$f_c \geq$	25.00	N/mm ²
Rapporto acqua / cemento	\leq	0.45	
Separazione di acqua (in volume)	\leq	2%	
Fluidità Marsh	=	10''-35''	
Ritiro nullo (aggiunta di additivi e/o antiritiro)			

3.10.2 MALTA DI INIEZIONE MICROPALI

Caratteristiche secondo UNI EN 447:2007

Resistenza a rottura a 28gg	$f_c \geq$	30.00	N/mm ²
Rapporto acqua / cemento	\leq	0.50	
Quantità minima di cemento	=	6 kN/mc	

3.10.3 ACCIAIO PER TIRANTI

I tiranti previsti sono di tipo attivo, provvisorio e ad iniezione ripetuta (IGS).

Si prevede l'impiego di cavi costituiti da trefoli in acciaio armonico stabilizzato da 0.6" (area 139mm²) avente caratteristiche:

Tensione caratteristica a rottura	→	$f_{ptk} \geq$	1860.00 N/mm ²
Tensione caratteristica all'1% di deformazione totale	→	$f_{p(0.1)k} \geq$	1670.00 N/mm ²
Allungamento sotto carico massimo	→	$A_{gt} \geq$	3.5
Tensione iniziale all'atto della tesatura (vale la condizione più restrittiva)	→	$\sigma_{spi} < 0.85 f_{p(0.1)k}$ $\sigma_{spi} < 0.75 f_{ptk}$	1420.00 N/mm ² 1395.00 N/mm ²
Modulo elastico	→	$E_{sp} =$	195000 N/mm ²

3.11 COPRIFERRI

Ai fini di preservare le armature dai fenomeni di aggressione ambientale, dovrà essere previsto un idoneo copriferro; il suo valore, misurato tra la parete interna del cassero e la generatrice dell'armatura metallica più vicina, individua il cosiddetto "copriferro nominale".

Il copriferro nominale c_{nom} è somma di due contributi, il copriferro minimo c_{min} e la tolleranza di posizionamento h .

Vale pertanto:

$$c_{nom} = c_{min} + h$$

La tolleranza di posizionamento delle armature h , per le strutture gettate in opera, può essere assunta pari ad almeno 5mm.

Considerata la Classe di esposizione ambientale delle singole parti strutturali dell'opera, si adottano i seguenti copriferri.

Pile e Spalle - Si adottano copriferri pari a:

	Copriferro - c_{min} [mm]
<i>FONDAZIONI</i>	
Pali $\phi \geq 800\text{mm}$	60
Platea	40
<i>ELEVAZIONE</i>	
Fusti / Risvolti / Orecchie	40
Baggioli	40
Cordoli	40

Impalcato - Si adottano copriferri pari a:

	Copriferro - c_{min} [mm]
Soletta	40

	LINEA AV/AC MILANO - VENEZIA LOTTO FUNZIONALE TRATTA AV/AC BRESCIA EST - VERONA NODO AV/AC DI VERONA: INGRESSO OVEST					
	RELAZIONE TECNICA DESCRITTIVA	COMMESSA IN10	LOTTO 10	CODIFICA D26RG	DOCUMENTO VI0200001	REV. A

4 CODICI DI CALCOLO

4.1 SAP 2000

Il calcolo della struttura in esame viene condotto con il programma SAP 2000 (prodotto dalla CSI Computers and Structures, Inc. Berkeley, California, USA).

L'analisi strutturale è condotta con il metodo degli spostamenti per la valutazione dello stato tensodeformativo indotto da carichi statici.

L'analisi strutturale viene effettuata con il metodo degli elementi finiti.

Gli elementi utilizzati per la modellazione dello schema statico della struttura sono i seguenti:

- Elemento tipo FRAME (trave)
- Elemento tipo SHELL (membrana o piastra quadrilatera)
- Elemento tipo PLANE (membrana o piastra da tre a nove nodi)
- Elemento tipo SOLID (solidi simmetrici)
- Elemento tipo ASOLID (solidi asimmetrici)
- Elemento tipo NLLINK (elementi con proprietà non lineari) che si dividono in :
 1. Elemento DAMPER (smorzatore)
 2. Elemento GAP (elemento resistente alla sola compressione)
 3. Elemento HOOK (elemento resistente alla sola trazione)
 4. Elemento ISOLATOR 1 (isolatore isteretico biassiale)
 5. Elemento ISOLATOR 2 (comportamento di gap nella direzione verticale e isolatore a frizione nelle due direzioni del taglio)

Il programma SAP 2000 applica il metodo degli elementi finiti a strutture di forma qualunque, comunque caricate e vincolate, nell'ambito del comportamento lineare delle stesse. Oltre all'analisi statica e dinamica delle strutture, il programma può svolgere l'analisi P-Delta e l'analisi delle strutture da ponte sottoposte all'azione di carichi mobili, costruendo le linee d'influenza ad essi relative. L'analisi sismica lineare o non lineare, infine, può essere svolta sottoponendo la struttura all'azione di uno spettro di risposta o a quella di un'accelerogramma reale (time history analysis).

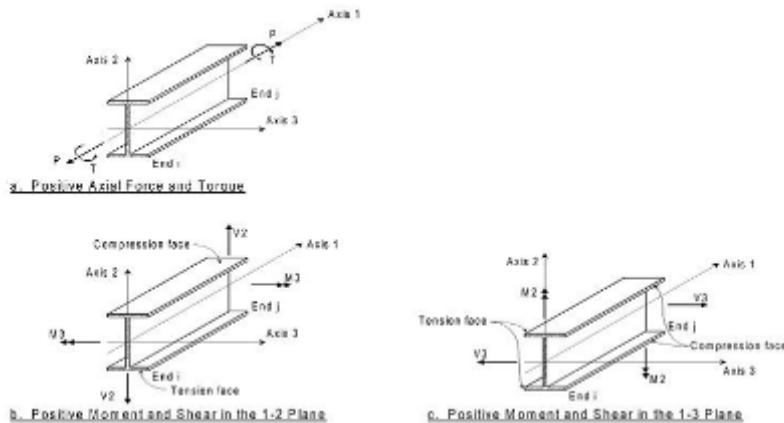


Figura 4.1 Elementi Frame – Convenzione sui segni

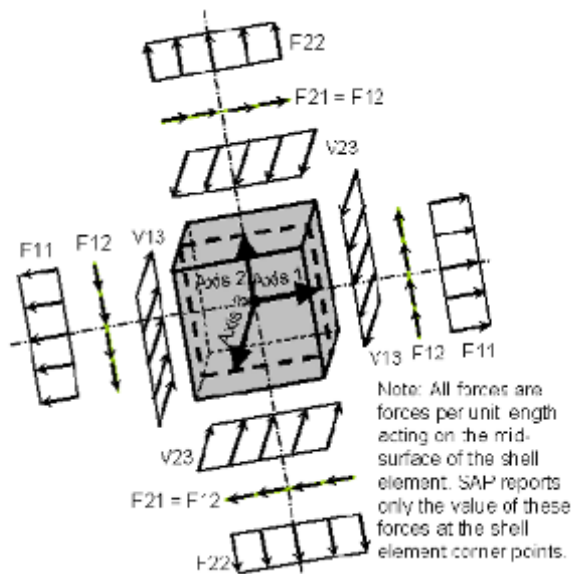


Figura 4.2 Elementi Shell – Convenzione sui segni

Per lo studio dell'impalcato si è fatto ricorso al modulo "bridge" utilizzato per il calcolo delle linee di influenza e delle sollecitazioni dovute ai carichi mobili.

4.2 VCASLU

Il programma VcaSlu consente la verifica di sezioni in cemento armato normale e precompresso, soggette a presso-flessione o tenso-flessione retta o deviata sia allo stato limite ultimo che con il metodo n.



LINEA AV/AC MILANO - VENEZIA
LOTTO FUNZIONALE TRATTA AV/AC BRESCIA EST - VERONA
NODO AV/AC DI VERONA: INGRESSO OVEST

RELAZIONE TECNICA DESCRITTIVA

COMMESSA	LOTTO	CODIFICA	DOCUMENTO	REV.	FOGLIO
IN10	10	D26RG	VI0200001	A	29 di 29

Nome software	N° revisione	Data revisione	Estensore	Data d'acquisto e Revisione	N° Licenza	Modulo di verifica
VCASLU		12/2009	PROF. GELFI	12/2009	Libero	Casa Produttrice